

## Список литературы

- [1] Stepanov A.V. // Z.Phys. 1933. V. 81. № 7–8. P. 560–564.
- [2] Тяпунина Н.А., Белозерова Э.П. // УФН. 1988. Т. 156. № 4. С. 683–717.
- [3] Альшиц В.И., Даринская Е.В., Перекалина Т.М., Урусовская А.А. // ФТТ. 1987. Т. 29. № 2. С. 467–471.
- [4] Альшиц В.И., Даринская Е.В., Гектина И.В., Лаврентьев Ф.Ф. // Кристаллография. 1990. Т. 35. № 4. С. 1014–1016.
- [5] Альшиц В.И., Даринская Е.В., Петржик Е.А. // Изв. вузов. Черная металлургия. 1990. В. 10. С. 85–87.
- [6] Альшиц В.И., Даринская Е.В., Петржик Е.А. // ФТТ. 1991. Т. 33. № 10. С. 3001–3010.
- [7] Альшиц В.И., Даринская Е.В., Петржик Е.А. // ФТТ. 1992. Т. 34. № 1. С. 155–158.
- [8] Парижский В.Б., Ландау А.И., Старцев В.И. // ФТТ. 1963. Т. 5. № 5. С. 1377–1385.

Институт кристаллографии РАН  
Москва

Поступило в Редакцию  
24 декабря 1992 г.

© Физика твердого тела, том 35, № 5, 1993  
*Solid State Physics, vol. 35, N 5, 1993*

## АКУСТИЧЕСКИЕ СВОЙСТВА КРИСТАЛЛА $K_4LiH_3(SO_4)_4$ ПРИ ВЫСОКИХ ТЕМПЕРАТУРАХ

*A.K.Раджабов, И.К.Рахимов, Е.В.Чарная*

Кристаллы  $K_4LiH_3(SO_4)_4$  (KLHS), принадлежащие к соединениям с общей химической формулой  $Me_4LiH_3(AO_4)_4$ , где  $Me = R, Rb$ ,  $A = S, Se$  синтезированы сравнительно недавно [1]. Кристаллы этого семейства при комнатной температуре имеют изоморфную структуру с тетрагональной симметрией [2–4]. Относительно их принадлежности к конкретному классу симметрии в литературе имеются разногласия. На основании ЭПР исследований в [2] был сделан вывод, что наиболее вероятной является точечная группа  $4/m$ . Однако позднее [3] в KLHS был обнаружен пьезоэффеkt, что позволяет отнести KLHS к группе 4 или  $4mm$  [3–9].

В работе [9] сообщалось, что, по данным метода дифференциальной калориметрии, кристаллы KLHS претерпевают три фазовых превращения при температурах 411, 440 и 447 K, сходных с фазовыми переходами в  $Rb_4LiH_3(SO_4)_4$ . Других данных о высокотемпературных переходах в KLHS в литературе не имеется.

В настоящей работе представлены результаты исследований акустических свойств кристаллов KLHS в температурном диапазоне 290–470 K (верхний предел ограничивался структурным разложением кристалла, происходящим около 490 K [9]). При этом предполагалось получить информацию о природе высокотемпературных фазовых переходов. Ранее упругие свойства кристаллов KLHS изучались в [3] только при температурах ниже комнатной.

### 1. Методика эксперимента и образцы

Исследуемые бесцветные, прозрачные кристаллы были выращены из раствора при постоянной температуре 310 K. Состав полученных кристаллов контролировался с помощью химического анализа. Образцы для

Значения скорости звука при комнатной температуре  $v_{\alpha\beta}$  и коэффициентов  $K_{\alpha\beta}$  (индексы  $\alpha$  и  $\beta$  соответствуют направлениям распространения и поляризации звука).

Точность измерения скорости 5 м/с для продольных волн и 10 м/с для поперечных волн. Точность измерения  $K_{\alpha\beta}$  для продольных волн  $10^{-7}$  град $^{-1}$ , для поперечных волн  $10^{-6}$  град $^{-1}$

	$\alpha, \beta$								
	$xx$	$yy$	$zz$	$xy$	$yx$	$xz$	$zx$	$yz$	$zy$
$v, \text{ м/с}$	4178	4178	4290	2343	2343	1974	1972	1974	1972
$-K, 10^{-4}$									
град $^{-1}$	3.477		4.089	2.20		2.23	2.21		

измерений имели вид параллелепипедов объемом около 1 см<sup>3</sup> с ребрами, параллельными кристаллографическим осям. Точность ориентации составляла 1°.

Измерения температурных зависимостей скорости  $v_{\alpha\beta}$  ( $\alpha, \beta = x, y, z$ ; первый и второй индексы относятся к направлениям распространения и поляризации соответственно) и относительного коэффициента поглощения звука производились импульсно-фазовым методом. Образцы помещались между двумя длинными звукопроводами, к внешним торцам (вынесенным за пределы термостатирующей камеры) которых приклеивались пьезопреобразователи из кварца. Контакт между исследуемым образцом и звукопроводами внутри термостата осуществлялся за счет прижима атмосферным давлением (так называемый оптический контакт). Такая конструкция обеспечивала возможность измерения коэффициента поглощения в широком интервале температур. Для продольных волн измерения производились на частоте 17 МГц, для поперечных — на частоте 10 МГц. Значения скоростей продольных волн контролировались при комнатной температуре с помощью иммерсионного метода. Температурные зависимости измерялись в режиме медленного нагрева и охлаждения со скоростью от 0.3 до 0.05 град/мин в окрестности возможных фазовых переходов. Температурный градиент в образце не превышал 0.02 град/см. Температура измерялась с точностью 0.01 град. Кроме того, дополнительно исследовалась частотная зависимость коэффициента поглощения продольной акустической волны, распространяющейся вдоль оси  $x$  кристалла, методом дифракции Брэгга света на ультразвуке [10] при комнатной температуре в диапазоне частот  $f = 100 \div 800$  МГц.

## 2. Экспериментальные результаты и обсуждение

Температурные зависимости скоростей продольных и поперечных волн представлены на рис. 1, 2 и в таблице. Как видно из рис. 1, 2, во всем исследованном температурном диапазоне скорости всех типов ультразвуковых волн линейно уменьшались с ростом температуры.

По данным температурных измерений были рассчитаны значения температурного коэффициента скорости (ТКС) (см. таблицу)

$$K_{\alpha\beta} = \frac{1}{v_{\alpha\beta}(T = 300 \text{ K})} \frac{v_{\alpha\beta}(T) - v_{\alpha\beta}(T = 300 \text{ K})}{T - 300}.$$

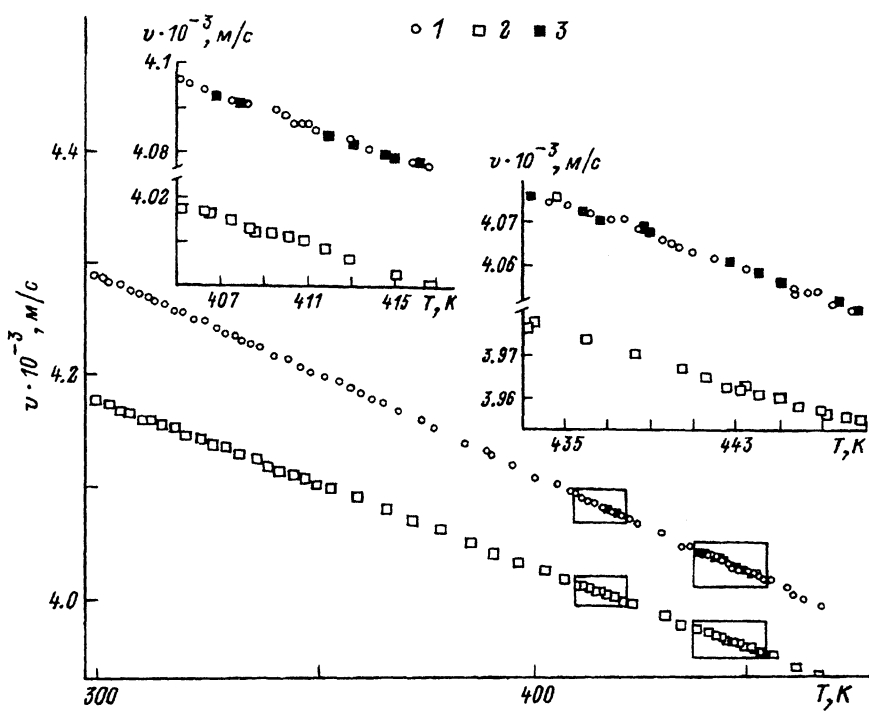


Рис. 1. Температурные зависимости скоростей продольных ультразвуковых волн. 1, 2 —  $v_{zz}$  в режимах нагрева и охлаждения; 3 —  $v_{xx}$  в режиме нагрева.

В пределах точности измерений никаких аномалий скоростей звука в области возможных фазовых переходов не было обнаружено. Не наблюдалось также никаких аномалий коэффициентов поглощения ультразвука для всех типов волн во всем исследованном диапазоне температур. При этом поглощение незначительно возрастало с температурой. Полученные результаты дают основание предположить, что наблюдавшиеся методом ДТА [9] сигналы вблизи 411, 440 и 447 К являлись следствием несовершенства структуры конкретных образцов.

По данным для скоростей были вычислены модули упругости или их комбинации для кристалла KLHS. В расчетах использовалось значение плотности  $\rho = 2.31 \text{ г}/\text{см}^3$ , измеренное при комнатной температуре. Если принять, что KLHS имеет симметрию  $4mm$ , то четыре независимых модуля упругости для него равны (в единицах  $10^{-10} \text{ Н}/\text{м}^2$ ):  $c_{11} = 4.032 \pm 0.010$ ,  $c_{66} = 1.268 \pm 0.012$ ,  $c_{44}^E = 0.898 \pm 0.010$ ,  $c_{44}^D = 0.900 \pm 0.010$  и  $c_{33}^D = 4.251 \pm 0.010$ . Если считать, что KLHS относится к группе 4, то имеющихся данных достаточно только для расчета двух модулей  $c_{44}$  и  $c_{33}$ , равных соответствующим величинам для группы  $4mm$ . Кроме того, можно получить значения двух комбинаций модулей

$$1/2 \left\{ c_{11} + c_{66} \pm \sqrt{(c_{11} \pm c_{66})^2 + 4c_{16}^2} \right\},$$

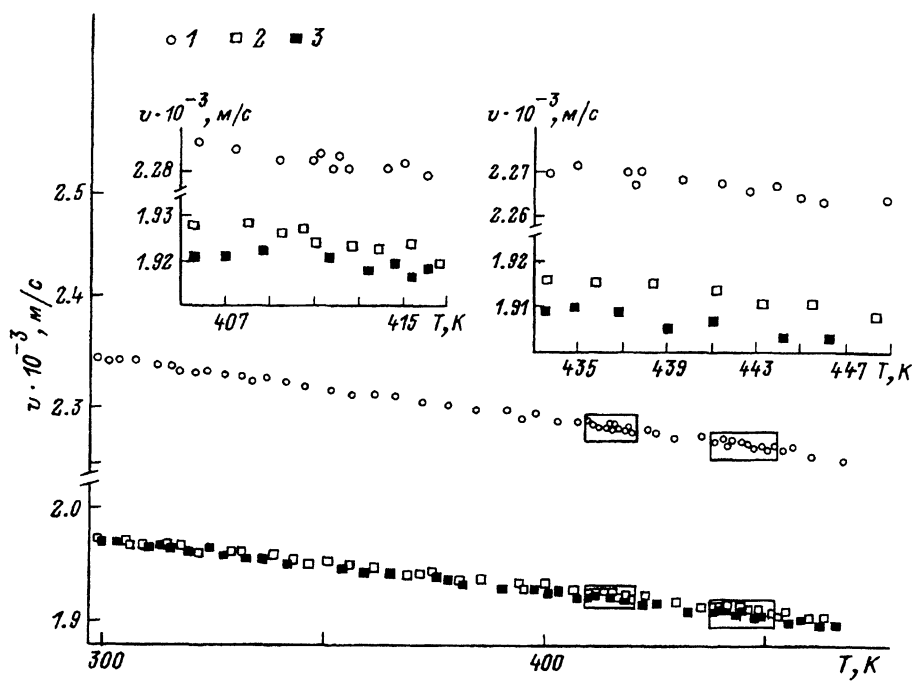


Рис. 2. Температурные зависимости скоростей поперечных ультразвуковых волн в режиме нагрева.

1 —  $v_{xy}$ , 2 —  $v_{xz}$ , 3 —  $v_{zz}$ .

равных  $c_{11}$  и  $c_{66}$  для группы 4mm. Поскольку в пределах погрешности модули упругости  $c_{44}$  при постоянных  $E$  и  $D$  совпадают, то можно оценить максимальную величину отношения  $\epsilon_{15}^2/\epsilon_{xx} \sim 10^{-12}$  Кл<sup>2</sup>/м<sup>4</sup>, что соответствует малой величине пьезомодуля  $d_{15}$  согласно данным [3],

Исследование частотной зависимости поглощения продольной акустической волны, распространяющейся вдоль оси  $x$ , показало, что в пределах точности измерений коэффициент поглощения  $\alpha_{xx}$  пропорционален квадрату частоты ультразвука в соответствии с ахиезеровским механизмом [11]. При этом величина отношения  $\alpha_{xx}/f^2$ , характеризующего поглощение, равнялось  $(2.5 \pm 0.3) \cdot 10^{-17}$  дБ·с<sup>2</sup>/см, что свойственно ионным кристаллам, не обладающим высокой ионной подвижностью.

#### Список литературы

- [1] Wolejko T., Piskunowicz P., Breczewski T., Krajewski T. // Ferroelectrics. 1988. V. 81. P. 175–178.
- [2] Minge J., Krajewski T. // Phys. Stat. Sol. (a). 1988. V. 109. P. 193–198.
- [3] Mroz B., Laiho R. // Phys. Stat. Sol. (a). 1989. V. 115. P. 575–579.
- [4] Polomska M., Smutny F. // Phys. Stat. Sol. (b). 1989. V. 154. P. K103–K105.
- [5] Wolejko T., Pakulski G., Tylczynski Z. // Ferroelectrics. 1988. V. 81. P. 179–185.
- [6] Mroz B., Kieft H., Clouter M.J. // Ferroelectrics. 1988. V. 82. P. 105–112.
- [7] Mroz B., Tuszyński J., Kieft H., Clouter M.J. // J. Phys.: Condens. Mater. 1989. V. 1. P. 4425–4439.
- [8] Pietraszko A., Lukaszewicz K. // Z. Krist. 1988. V. 185. P. 564–569.

- [9] Piskunowicz P., Breczewski T., Wolejko T. // Phys. Stat. Sol. (a). 1989. V. 114. P. 505–510.
- [10] Воробьев В.В., Чарная Е.В. // Электрохимия. 1990. Т. 26. № 11. С. 1365–1372.
- [11] Ахиезер А.И. // ЖЭТФ. 1938. Т. 8. № 2. С. 1328–1329.

Санкт-Петербургский  
государственный университет

Поступило в Редакцию  
11 января 1993 г.